LANCE
Laboratorio Nacional
de Clima Espacial

Reporte Semanal de Clima Espacial

https://www.sciesmex.unam.mx/blog/category/reporte-semanal-de-clima-espacial/

Ciencia y Tecnología
Secretaría de Ciencia, Humanidades, Tecnología e Innovación

CENAPRED
CENTRO NACIONAL DE PREVENCIÓN DE DESASTRES

ISES
International Space Environment Service

Reporte semanal:
del 31 de julio al 06 de agosto de 2026

LANCE
Servicio Clima Espacial

CONDICIONES DEL SOL
Regiones activas: 6
Eyecciones de masa coronal tipo halo: 0
Fulguraciones de clase X: 0
Estallidos de radio: 3 Tipo III y 1 CTM

CONDICIONES DE MAGNETÓSFERA
Se observó actividad geomagnética débil.

CONDICIONES DE LA IONOSFERA
No se observaron variaciones significativas.

CONDICIONES DE RAYOS CÓSMICOS
No se detectaron variaciones significativas.

Reporte semanal:
del 31 de julio al 06 de agosto de 2026

LANCE
Servicio Clima Espacial

PRONÓSTICOS

Viento solar: Se pronostica un viento solar con velocidades entre 350 y 385 km/s. Es posible que dos EMC arriben la Tierra

Fulguraciones solares:
Probabilidad moderada de fulguraciones clase X.

Tormentas geomagnéticas:
Probabilidad baja de tormentas geomagnéticas severas.

Tormentas ionosféricas:
Probabilidad baja de tormenta ionosférica severa.

**NOTA: Perturbaciones de Clima Espacial pueden ser provocadas por eventos solares rápidos los cuales no se pueden pronosticar definitivamente con una anticipación de varios días.*

Ciclo de manchas solares y la actividad solar

LANCE
Servicio Clima Espacial

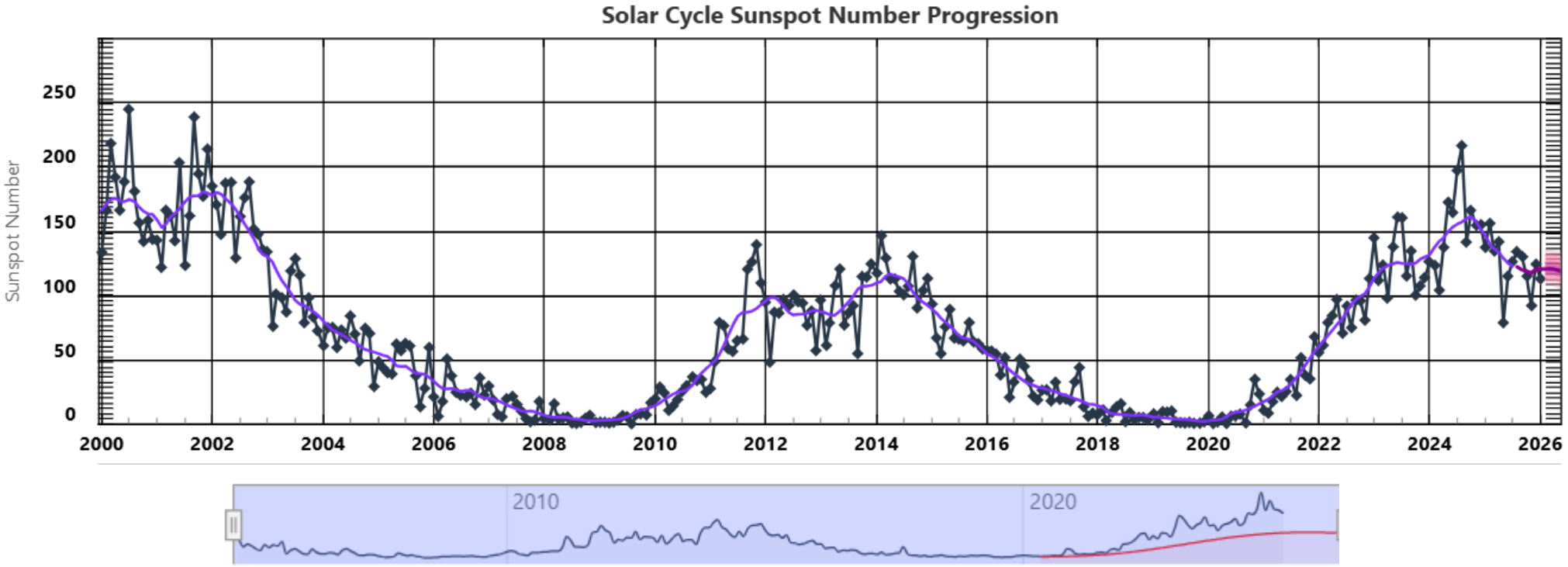

Imagen: www.swpc.noaa.gov/products/solar-cycle-progression

La figura muestra el conteo del número de manchas solares desde el 2000 a la fecha.

Estamos en la fase descendente del ciclo solar 25.

Fotosfera solar

LANCE
Servicio Clima Espacial

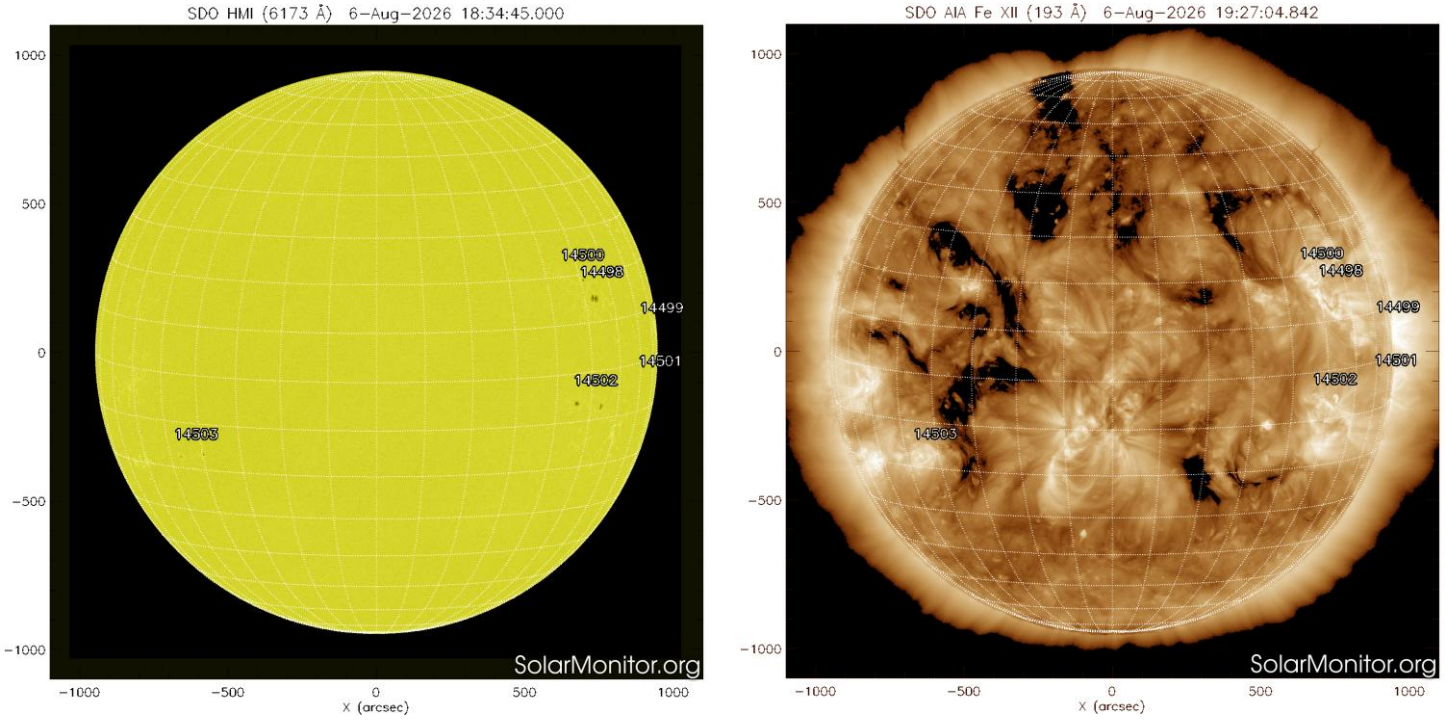

Imágenes: https://solarmonitor.org

Las imágenes más recientes (06 de agosto) del satélite artificial SDO muestran 6 regiones activas y 6 hoyos coronales.

El Sol, visto en distintas longitudes de onda mismas que muestran las diferentes capas solares.

A la izquierda:

La fotósfera es la zona "superficial" del Sol, donde aparecen las manchas solares (6173 Å) . Regiones oscuras están formadas por material más frío que sus alrededores y contienen intensos campos magnéticos. Las manchas solares están relacionadas con la actividad solar.

A la derecha:

El Sol en rayos X (193 Å). Los hoyos coronales (regiones oscuras) son regiones de campo magnético solar localmente abierto. Son fuente de las corrientes de viento solar rápido.

Cromosfera solar

LANCE
Laboratorio Nacional
de Clima Espacial

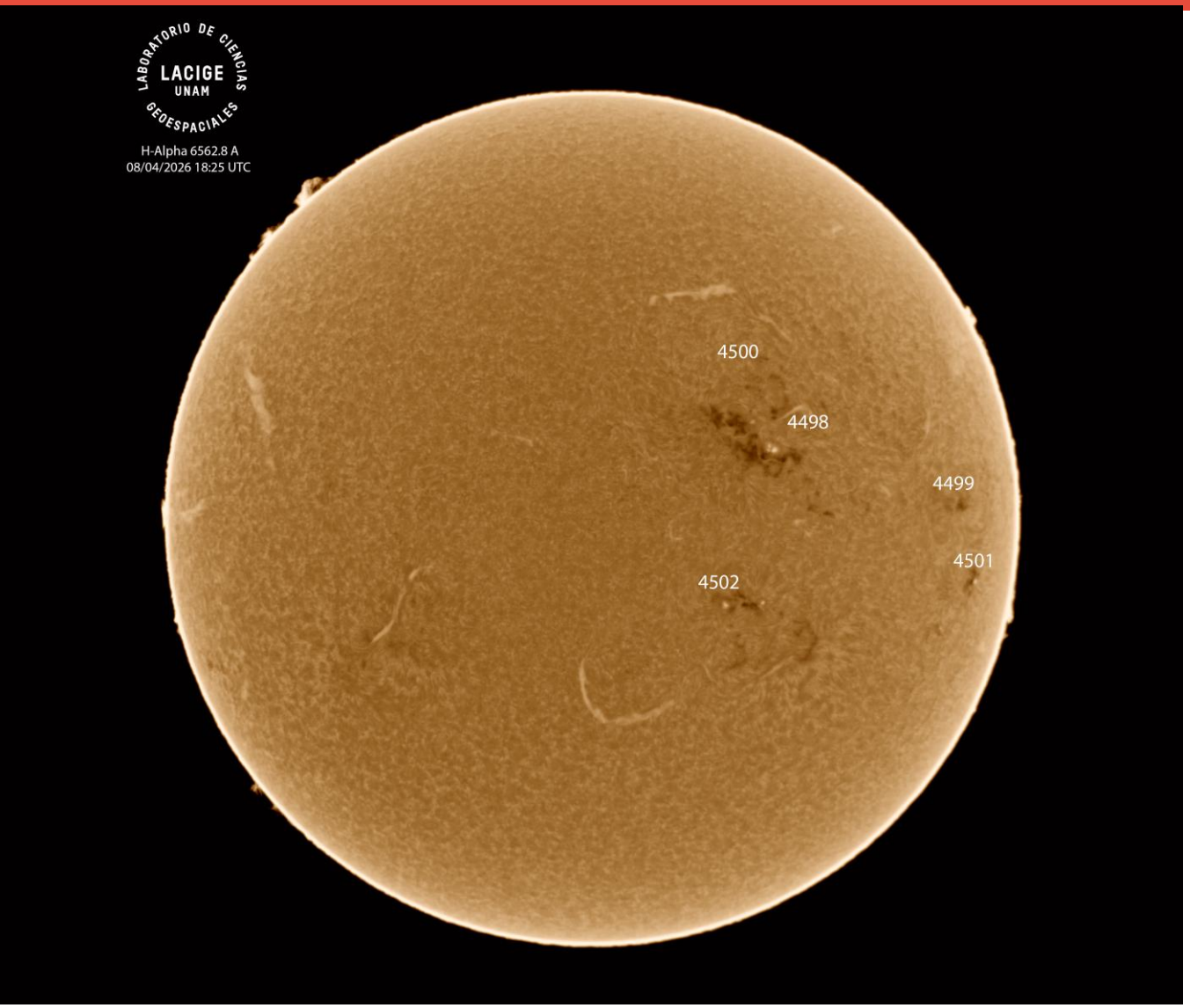

Imagen de la cromosfera solar en H-Alpha (6562.8 Å) observada el día 04/08/2026, 18:25 hrs UTC.

La imagen muestra las regiones activas 4498, 4499, 4500, 4501 y 4502 observadas para esta fecha en el disco solar. Destacan también otras estructuras como filamentos en ambos hemisferios, así como protuberancias en el limbos solar.

Actividad solar: Fulguraciones solares

LANCE
Servicio Clima Espacial

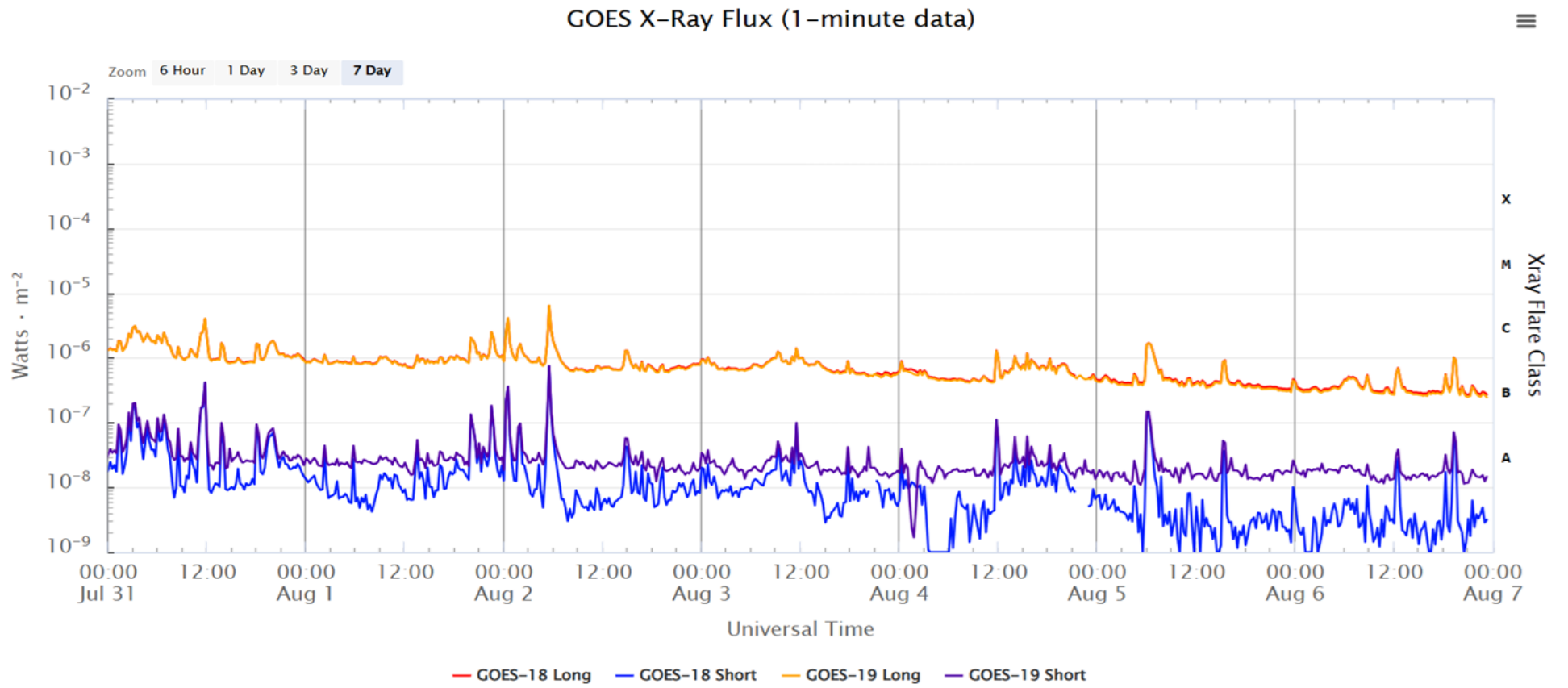

Imagen: www.swpc.noaa.gov/products/goes-x-ray-flux

Flujo de rayos X solares detectado por los satélites GOES. La imagen muestra los datos registrados durante los últimos días.
La semana pasada (del 31 de julio al 06 de agosto), no se registraron fulguraciones de clase X.

Medio interplanetario:
El viento solar cercano a la Tierra

LANCE
Servicio Clima Espacial

Modelo numérico WSA-ENLIL.

Del 6 al 9 de agosto 2026, el modelo pronostica un viento solar entre 350 a 385 km/s. Se produjeron seis EMC. Sólo dos de ellas se esperan que impacte la Tierra, una el 7 de agosto, la segunda para el 9 del mes.

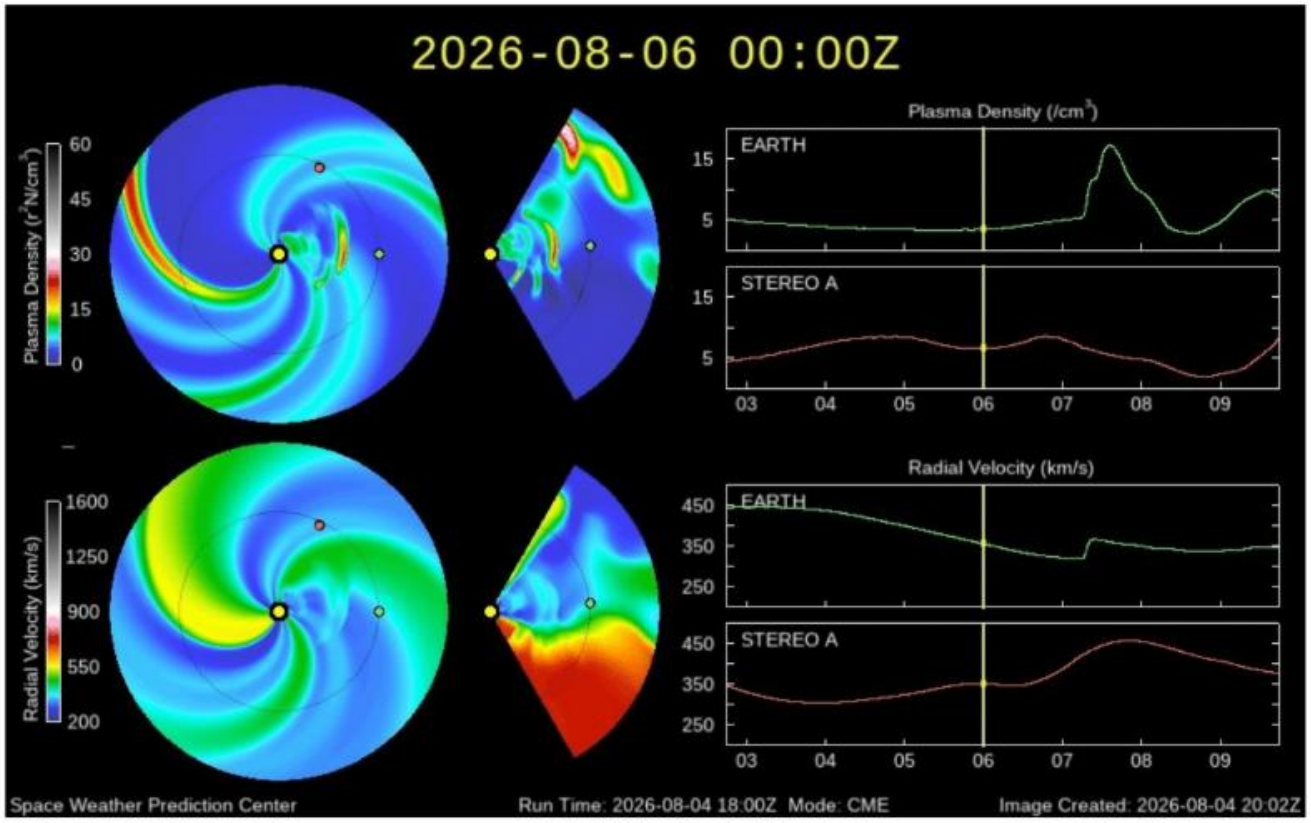

Imagen: http://www.swpc.noaa.gov/products/wsa-enlil-solar-wind-prediction

Actividad solar: Eyecciones de Masa Coronal

LANCE
Laboratorio Nacional de Clima Espacial

Se registraron 10 EMCs.
0 tipo halo (ancho > 90º)

Mediciones de salida de EMC de mayor dimensión y velocidad de esta semana:

Fecha, tiempo inicial, velocidad promedio (km/s)		
2026/08/05	07:00	290
2026/08/04	19:36	477
2026/08/04	16:24	1562
2026/08/03	12:24	188

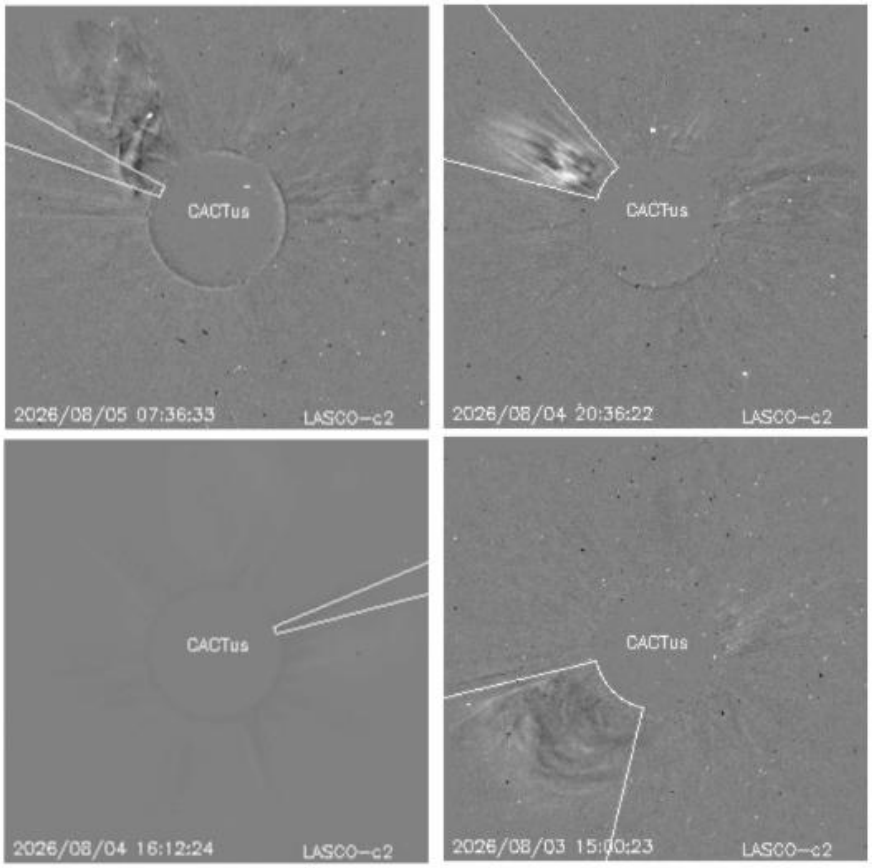

- Eyecciones observadas por SOHO/LASCO con cálculos del sitio CACTUS.

Crédito, imágenes y valores estimados:
SOHO, the SOLAR & Heliospheric Observatory
https://www.bis.sidc.be/cactus/

Medio interplanetario: Región de interacción de viento solar

LANCE
Servicio Clima Espacial

Esta semana no se registró región de interacción alguna (ver imagen 2). Actualmente no se observa hoyo coronal que pudiera afectar el entorno terrestre en los siguientes días (ver imagen 1).

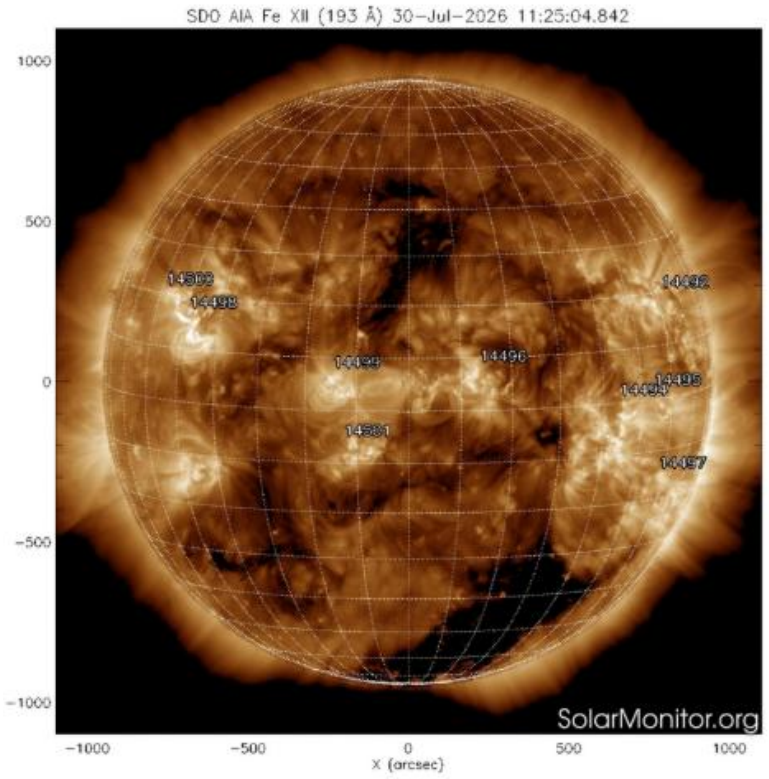

Imagen 1: https://sdo.nasa.gov/

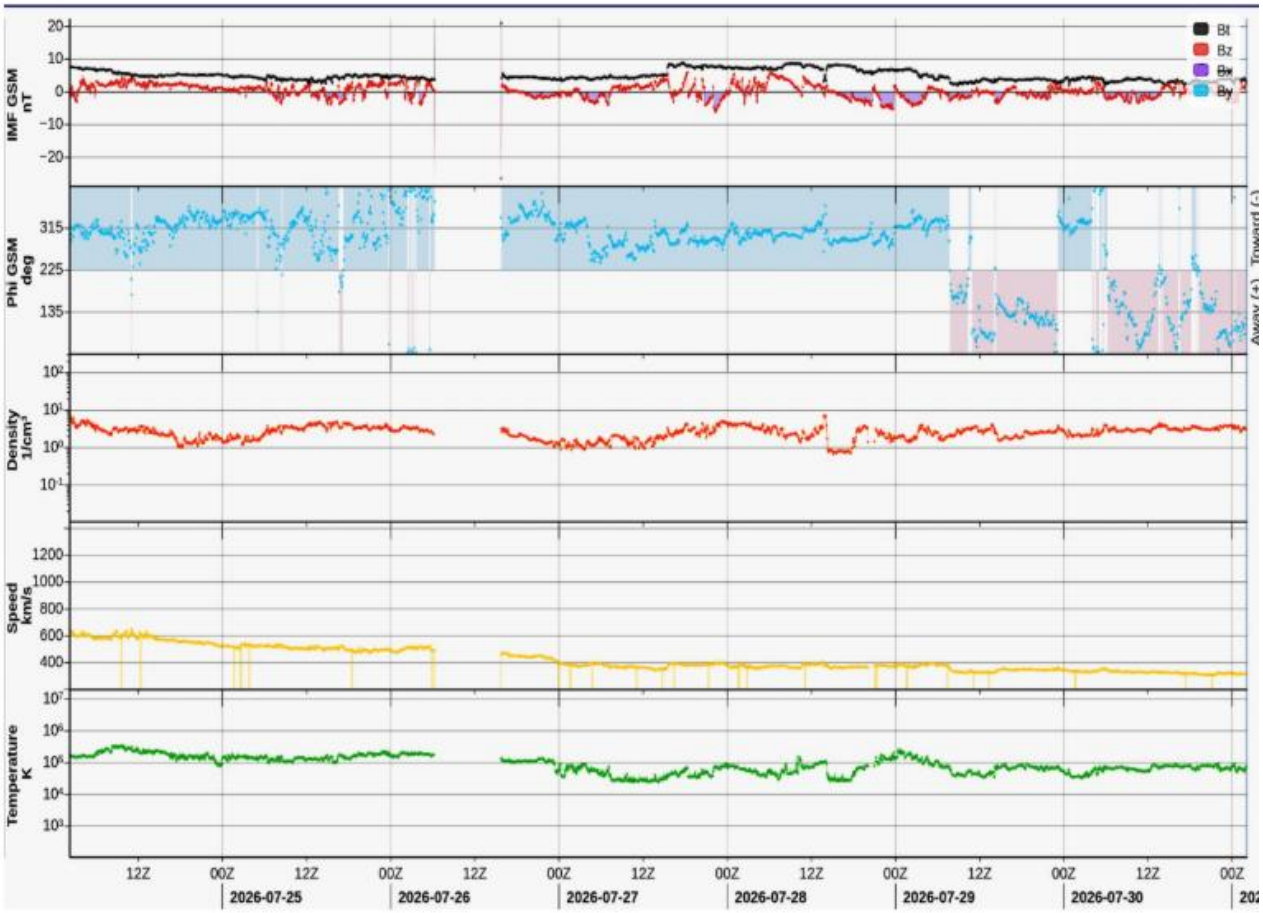

Imagen 2: https://www.swpc.noaa.gov/products/real-time-solar-wind

Medio interplanetario
Centelleo interplanetario

LANCE
Servicio Clima Espacial

Magnitud de velocidades de viento solar registradas por MEXART.

Se muestra con círculos azules la posición aparente de fuentes de centelleo vistas desde la Tierra, su dimensión representa la rapidez del viento solar. Al centro el Sol (círculo amarillo). Los círculos concéntricos marcan la elongación o distancia heliocéntrica en grados o unidades astronómicas.

Mapas correspondientes a los últimos días en que se registraron observaciones. Velocidades en su mayoría van de 300 a 800 km/s.

Los velocidad calculada hasta ahora es experimental.

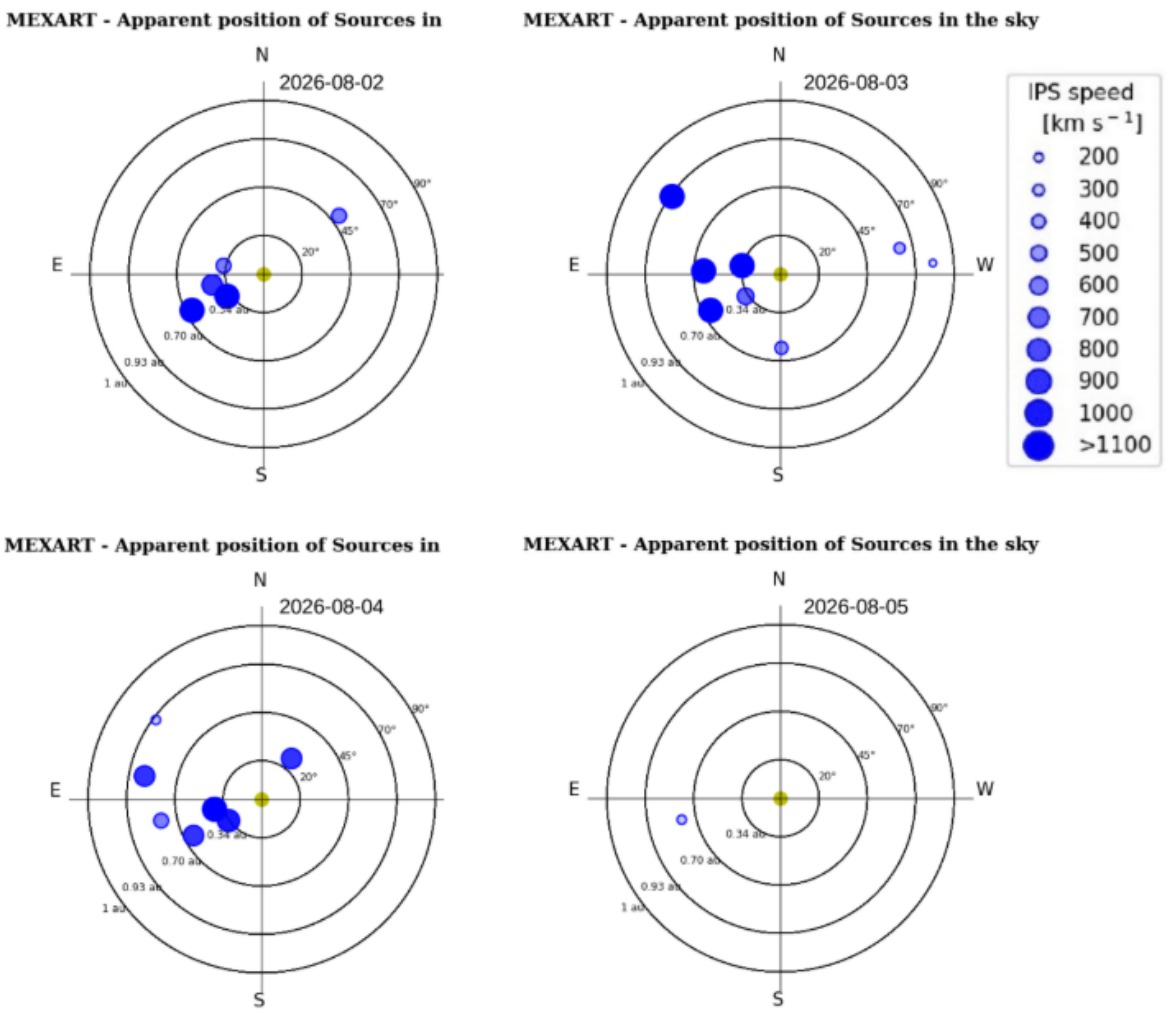

Nota: El día 5 solo se observó una fuente centelleando debido a una descalibración de MEXART

Actividad geomagnética regional y planetaria: índices Kmex y Kp

Servicio Clima Espacial

Se registró una tormenta geomagnética G1 (K=5) en el índice Kp el 2 de agosto. La actividad geomagnética fue provocada por una corriente de viento solar con componente magnética Bz sur intermitente que llegó al ambiente terrestre el 2 de agosto.

NOTA: El cálculo del índice Kmex se realizó usando datos del observatorio magnetico de Teoloyucan, EdoMex y de la estación magnética Coeneo, Mich. Los datos son experimentales y no se deben de tomar como definitivos.

Datos: www.gfz-potsdam.de/en/kp-index/

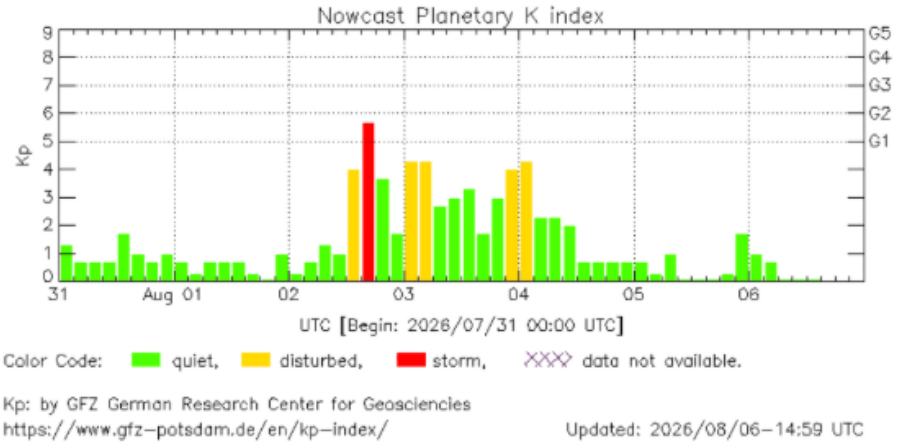

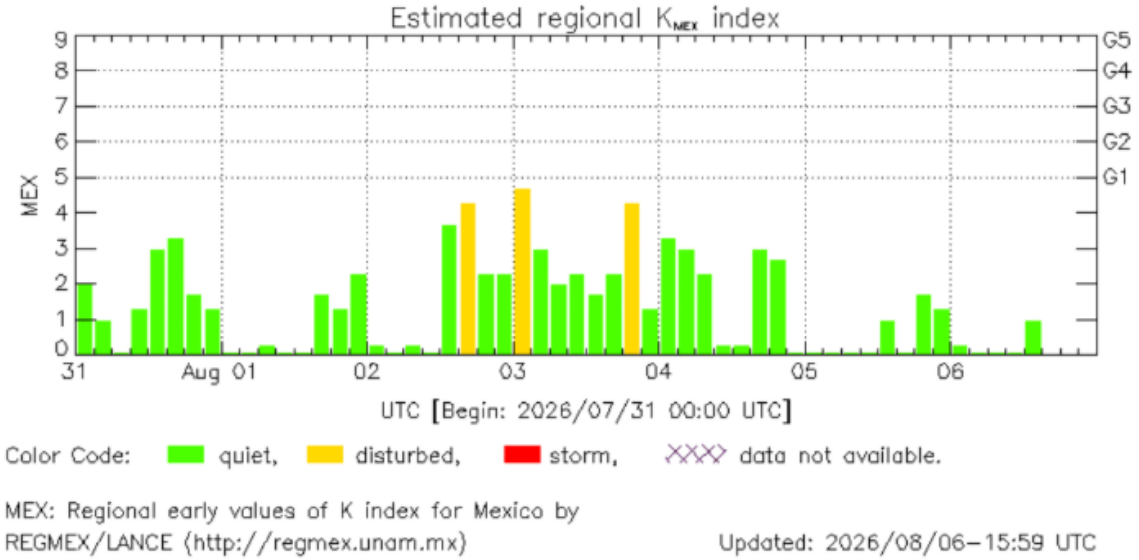

El índice K indica la intensidad de las variaciones del campo magnético terrestre en intervalos de 3 horas.

El índice Kp lo expresa a escala planetaria, mientras que el Kmex lo hace para el territorio mexicano.

Actividad geomagnética regional y planetaria: índices ΔH y Dst

LANCE
Servicio Clima Espacial

Se registró actividad geomagnética débil en los índices ΔH y Dst el 2 y 3 de agosto. La actividad geomagnética fue provocada por una corriente de viento solar con componente magnética Bz sur intermitente que llegó al ambiente terrestre el 2 de agosto.

NOTA: El cálculo del índice ΔH se realizó usando datos del observatorio magnetico de Teoloyucan, EdoMex y de la estación magnética Coeneo, Mich. Los datos son experimentales y no se deben de tomar como definitivos.

Datos: wdc.kugi.kyoto-u.ac.jp/dst_realtime/

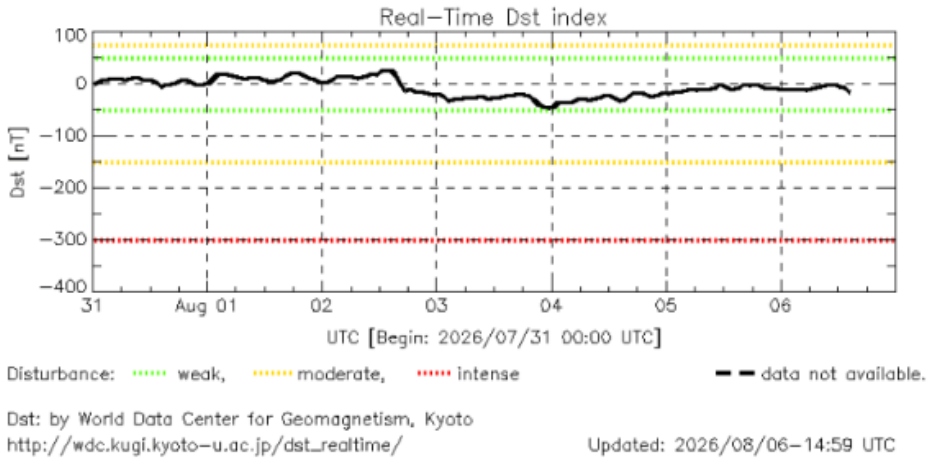

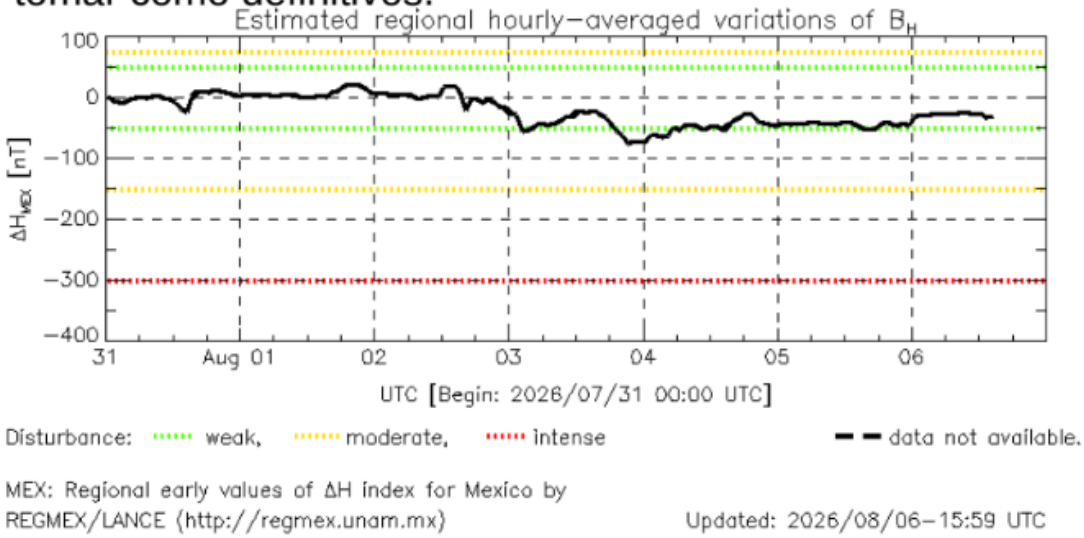

Los índices Dst y ΔH miden las variaciones temporales de la componente horizontal del campo geomagnético, el primero a escala planetaria y el segundo para México.

Estas variaciones, en general, se deben al ingreso de partículas cargadas, provenientes del espacio exterior, al ambiente espacial terrestre.

Ionósfera sobre México: TEC en la región este.

LANCE
Servicio Clima Espacial

El contenido total de electrones (TEC) es un parámetro que caracteriza el estado de la ionosfera de la Tierra.

Series temporales de los valores de TEC (TECobs) con referencia a su valor mediano (TECmed) obtenidas de:

(1) Estación local UEME, ubicada en la región oriente del país.

El cálculo se realiza en base del software "TayAbsTEC" del Instituto de Física Solar-Terrestre, SB RAS. Referencia: Yasyukevich et al., 2015, doi: 10.1134/S001679321506016X.

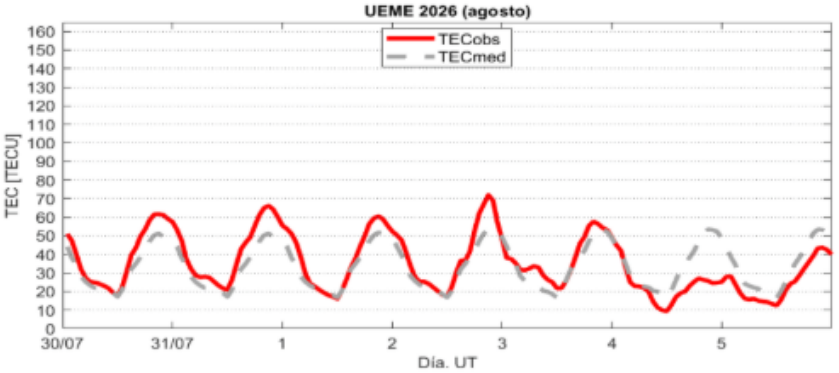

(2) Mapas ionosféricos globales (GIM JPL)

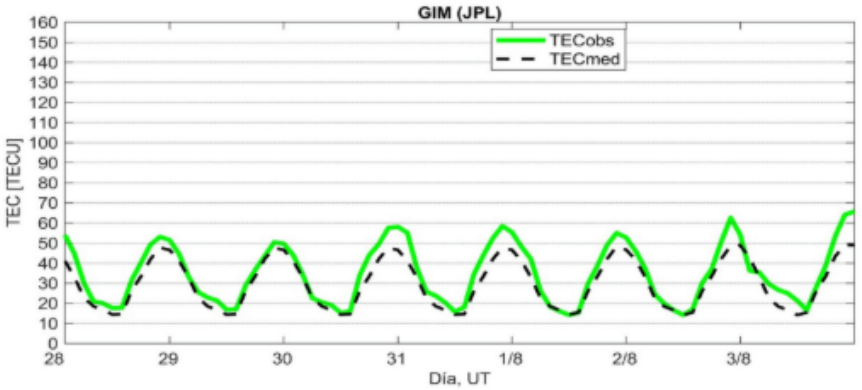

Se observaron valores de TEC disminuidos el día 4 de agosto en en la parte oriental del país. Estas variaciones no son significativas.

Estallidos de radio solares: Observaciones de la REC-Mx

LANCE
Laboratorio Nacional de Clima Espacial

En esta semana la Red de Espectrómetros Callisto de México (REC-Mx) detectó 3 estallidos de radio Tipo III y una CTM.

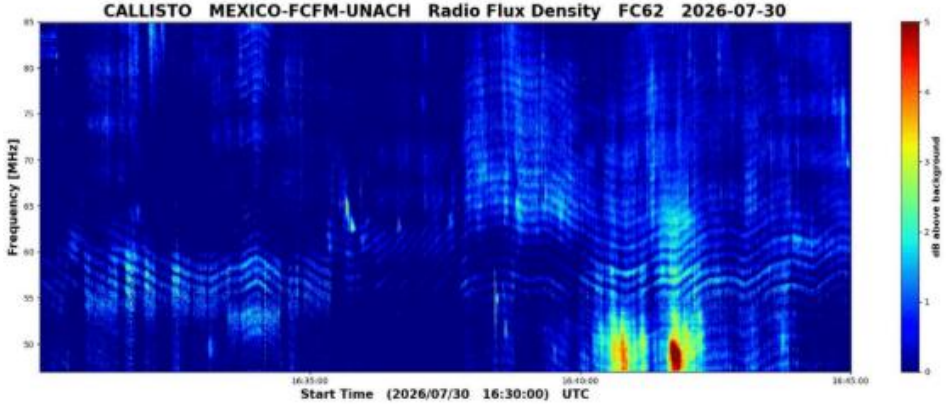

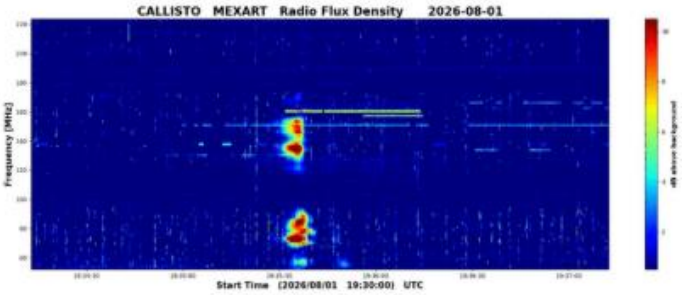

e-Callisto
REC-Mx

https://recmx.unam.mx/

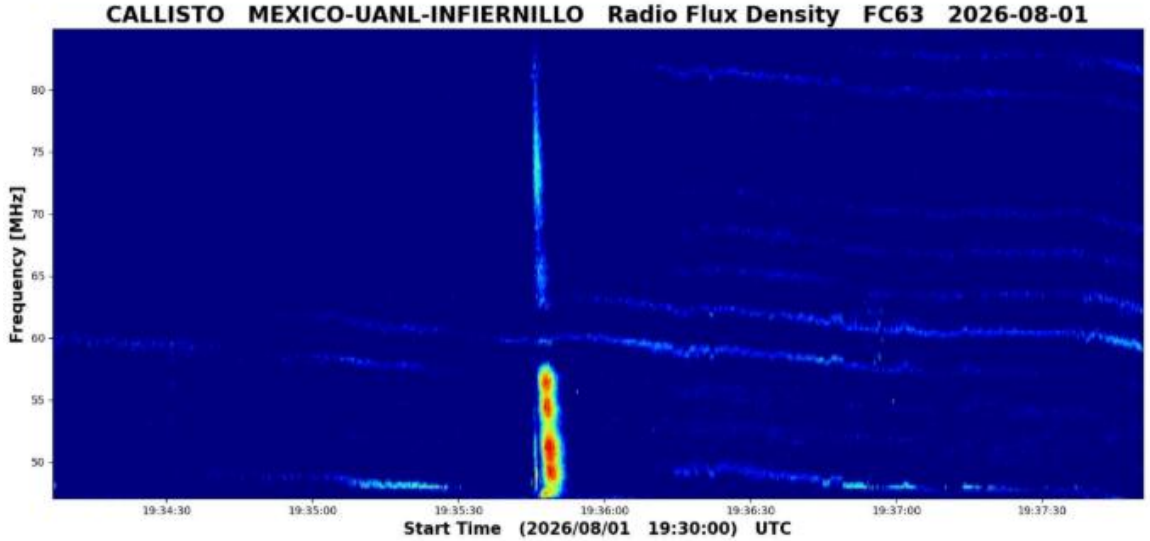

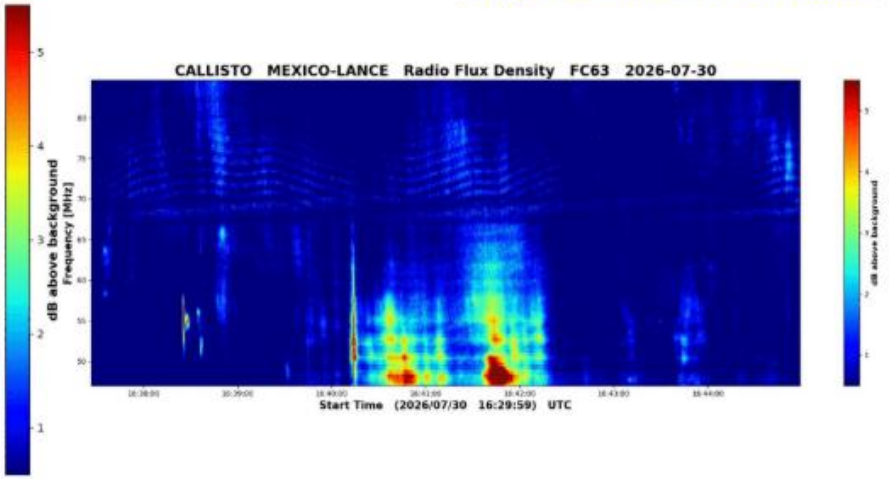

Rayos Cósmicos:

LANCE
Servicio Clima Espacial

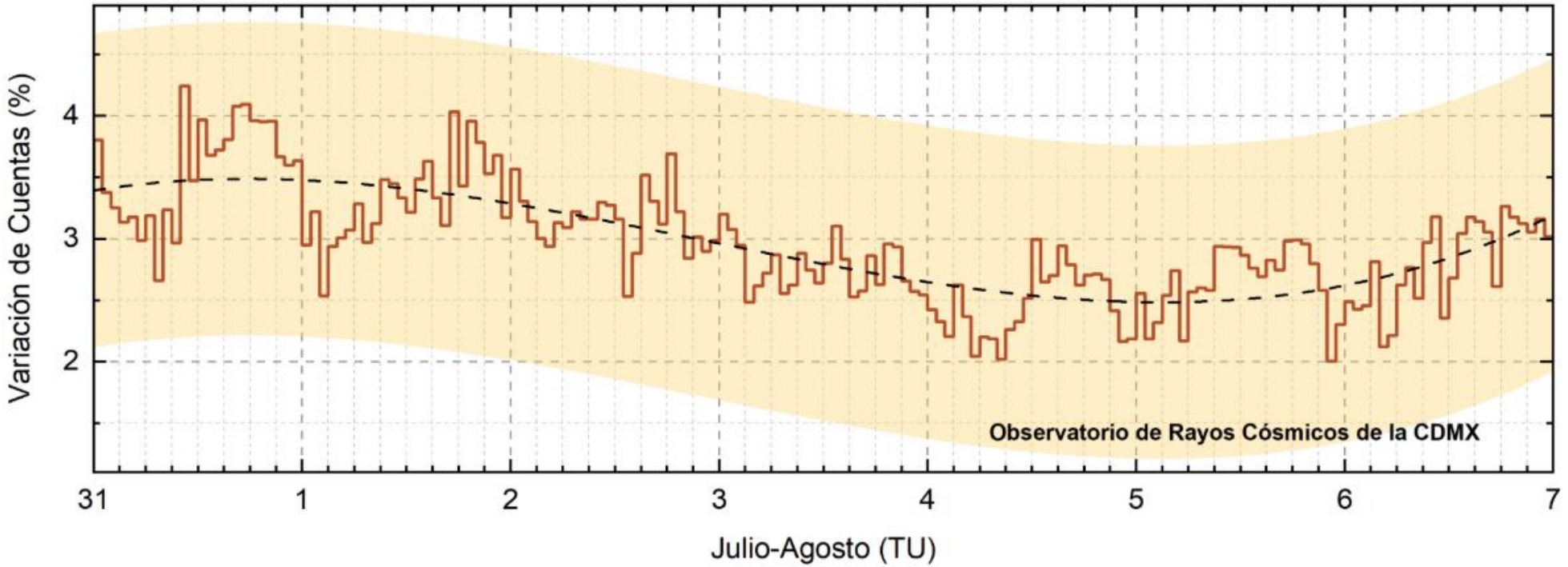

http://www.cosmicrays.unam.mx/

Datos registrados por el Observatorio de Rayos Cósmicos de la Ciudad de México. La curva discontinua negra representa el promedio de los datos registrados, el área coloreada en amarillo representa la significancia de los datos (±3σ). Los datos detectados que salen del área, son atribuidos a efectos de emisiones solares en el flujo de rayos cósmicos. Del 31 de julio al 6 de agosto de 2026, no se detectaron variaciones significativas en las cuentas de rayos cósmicos.

Créditos

LANCE
Servicio Clima Espacial

UNAM/LANCE/SCiESMEX

Dr. J. Américo González Esparza

Dr. Pedro Corona Romero

Dra. Maria Sergeeva

Dr. Julio C. Mejía Ambriz

Dr. Luis Xavier González Méndez

Ing. Ernesto Andrade Mascote

M.C. Pablo Villanueva Hernández

Dr. Víctor José Gatica Acevedo

Dra. Elsa Sánchez García

Dr. Carlos Arturo Pérez Alanis

Dr. Raúl Gutiérrez Zalapa

Dra. Verónica Ontiveros

Dra. Tania Oyuki Chang Martínez

Dr. Ernesto Aguilar Rodríguez

INAOE

M. C. Elvia Patricia Barrón Cano

UNAM ENES-Morelia

Dr. Mario Rodríguez Martínez

Dr. José Juan González Avilés

Mateo Peralta Mondragón

Jaquelin Mejía Orozco

Shelsy Maber Negrete Hernández

Salvador Torres Servantes

UNAM/PCT

M.C. Isaac Castellanos Velasco

Lic. Isaac David Orrala Legorreta

UANL/LANCE

Dr. Eduardo Pérez Tijerina

Dra. Esmeralda Romero Hernández

Dr. José Enrique Pérez León

Ing. Iván Antonio Peralta Mendoza

Fís. Rogelio Aguirre Gutiérrez

M.C. Adolfo Garza Salazar

UNAM/IGF/RAYOS CÓSMICOS

Dr. Luis Xavier González Méndez

Dr. José Francisco Valdés Galicia

Dr. Oscar Gustavo Morales Olivares

SERVICIO MAGNÉTICO

Dr. Esteban Hernández Quintero†

Dr. Gerardo Cifuentes Nava

Dra. Ana Caccavari Garza

UAS/FCFM

Dra. Angela Melgarejo Morales

Elaboración: Equipo SCiESMEX

Agradecimientos

El Laboratorio Nacional de Clima Espacial (LANCE) es parcialmente financiado por: el programa Cátedras CONACYT Proyecto 1045 y el Fondo Sectorial AEM-CONACYT proyecto 2014-01-247722. Agradecemos al proyecto Conacyt – Repositorio Institucional de Clima Espacial 268273. Agradecemos al proyecto SECIHTI-CBF-2025-I-103 y al proyecto DGAPA-UNAM PAPIIT-2026-IA101426. Agradecemos a todos los responsables y colaboradores de instrumentos del LANCE y a las redes de estaciones GPS del Servicio Sismológico Nacional y TlalocNET por facilitar sus datos. Agradecemos a Gerardo Cifuentes, Esteban Hernández y Ana Caccavari por los datos del Observatorio Magnético de Teoloyucan. De igual forma, agradecemos los servicios de IGS (International GNSS Service) por permitirnos usar los datos IONEX disponibles en: https://cddis.nasa.gov/archive/gnss/products/ionex. Los valores de TEC fueron obtenidos a partir de observaciones de las redes GPS del Servicio Sismológico Nacional (SSN), SSN-TLALOCNet y TLALOCNet del Servicio de Geodesia Satelital (SGS). Agradecemos al personal del SSN y del SGS por el mantenimiento de estaciones, la adquisición de datos y el soporte de IT de estas redes. Las operaciones de la red TLALOCNet y SSN-TLALOCNet GPS han sido apoyadas por The National Science Foundation bajo el proyecto EAR-1338091 a UNAVCO Inc., los proyectos CONACyT 253760 y 256012 y los proyectos UNAM-PAPIIT IN109315-3 y IN104818-3 de E. Cabral-Cano y el proyecto UNAM-PAPIIT IN111509 de R. Pérez. De igual forma, agradecemos a los proyectos de infraestructura del CONACyT: 253691 y del PAPIIT-DGAPA: IA107116 para el fortalecimiento de equipos como la estación fija de GPS, que forman parte del LACIGE-UNAM, de la ENES unidad Morelia a cargo de M. Rodríguez-Martínez, El cálculo de TEC se realiza: 1) utilizando el software US-TEC que es un producto de operación del Space Weather Prediction Center (SWPC), desarrollado a través de una colaboración entre National Geodetic Survey, National Oceanic and Atmospheric Administration (NOAA) y el Cooperative Institute for Research in Environmental Sciences of the University of Boulder, Colorado, 2) con base en el software TayAbsTEC del Instituto de Física Solar-Terrestre, sección Siberiana de la Academia de Ciencias Rusa. Parte del procesamiento de datos se lleva a cabo dentro del centro de Supercómputo de Clima Espacial (CESCOM) del LANCE. Así mismo agradecemos al Space Weather Forecasting Center for Astrophysics &Space Research de la University of California in San Diego y al Korean Space Weather Center por los datos de pronóstico para los modelos WSA-ENLIL y los mapas tomográficos por IPS. Agradecemos a la red e-callisto por los datos proporcionados de espectros electromagnéticos dinámicos de la red internacional de registro de eventos de radio solares.

Créditos

LANCE
Servicio Clima Espacial

Datos

Imágenes de coronógrafo, flujo de rayos X y modelo WSA-ENLIL:

http://www.swpc.noaa.gov/products

http://iswa.ccmc.gsfc.nasa.gov/IswaSystemWebApp/

Imágenes de coronógrafo:

http://sohowww.nascom.nasa.gov/data/

Imágenes del disco solar y de la fulguración:

http://www.solarmonitor.org/

Detección y caracterización de EMCs:

http://www.sidc.oma.be/cactus/out/latestCMEs.html

http://spaceweather.gmu.edu/seeds/

ISES:

http://www.spaceweather.org/

International Network of Solar Radio Spectrometers (e-callisto):

http://www.e-callisto.org/

German Research Center For Geociencies Postdam:

http://www.gfz-potsdam.de/en/sektion/erdmagnetfeld/daten-dienste/kp-index/

Data Analysis Center for Geomagnetism and Space Magnetism, Kyoto University:

http://wdc.kugi.kyoto-u.ac.jp/index.html

UNAVCO:

http://www.unavco.org

SSN:

http://www.sismologico.unam.mx/

SOHO Spacecraft NASA:

http://sohowww.nascom.nasa.gov/

SDO Spacecraft NASA:

http://sdo.gsfc.nasa.gov/

Space Weather Prediction Center NOAA:

http://www.swpc.noaa.gov

GOES Spacecraft NOAA:

http://www.ngdc.noaa.gov/stp/satellite/goes/index.html

ACE Spacecraft NOAA

http://www.srl.caltech.edu/ACE/ASC/index.html